

## محاسبه شعاع بهینه تزریق در تونل کوهین به منظور بهبود خصوصیات ژئومکانیکی زمین با استفاده از روش تصمیم‌گیری چندمعیاره

صالح قادرنژاد<sup>۱\*</sup>، علی صدریان<sup>۲</sup>، رضا میکائیل<sup>۳</sup>

۱- دانشجوی کارشناسی ارشد گروه مهندسی معدن، دانشکده مهندسی معدن، دانشگاه تهران

۲- کارشناس مهندسی معدن، دانشگاه صنعتی ارومیه

۳- استادیار گروه مهندسی معدن، دانشکده فنی و مهندسی، دانشگاه صنعتی ارومیه

(دریافت ۰۱/۰۵/۱۳۹۴، پذیرش ۲۱/۰۵/۱۳۹۴)

چکیده

عمل تزریق دوغاب به عنوان یکی از روش‌های اصلی بهسازی زمین نقش اساسی در کیفیت تولید سازی دارد. تزریق دوغاب از طریق بهبود ویژگی‌های مقاومتی توده سنگ و خاک باعث کاهش میزان نشت در سطح زمین، کاهش همگرانی محیط تونل و همچنین کاهش بارهای وارد بر سیستم نگهداری می‌شود. از طرف دیگر تزریق دوغاب باعث افزایش هزینه‌ها، افزایش زمان و همچنین کاهش میزان پیوستگی عملیات تولید سازی خواهد شد. با توجه به اثرات مثبت و منفی تزریق دوغاب بر روند تولید سازی، انتخاب شعاع بهینه تزریق در پروژه‌های تونل‌سازی اهمیت ویژه‌ای دارد. جایه‌جایی قائم در سقف و کف تونل، جایه‌جایی افقی دیواره تونل، نشت در سطح زمین، بار محوری، نیروی برشی و لنگر خمشی وارد بر سیستم نگهداری، هزینه و مدت زمان حفر تونل به عنوان پارامترهای اصلی برای تعیین شعاع بهینه تزریق به منظور بهبود خصوصیات ژئومکانیکی محیط و بهبود طراحی تونل انتخاب شدند. در این مقاله ابتدا بر اساس روش عددی تفاضل محدود و با استفاده از نرم افزار FLAC<sup>2D</sup> پارامترهای اصلی تونل را آهن محور قزوین - رشت محاسبه شد. پس از تعیین مقادیر هر یک از پارامترهای یاد شده در شعاع‌های مختلف تزریق (۴۰۰، ۵۰۰، ۱۰۰۰، ۰ سانتی‌متر)، درجه اهمیت هر یک از پارامترها با توجه به نظر نویسنده‌گان با استفاده از روش تحلیل سلسله مراتبی (AHP) تعیین و در نهایت با به کارگیری روش تصمیم‌گیری چند معیاره VIKOR شعاع بهینه تزریق از میان گزینه‌های مختلف انتخاب شد. در این تحقیق شعاع ۱۰۰ سانتی‌متر به عنوان شعاع بهینه تزریق به منظور بهبود خصوصیات ژئومکانیکی محیط و بهبود طراحی تونل کوهین به دست آمد.

کلمات کلیدی

تزریق دوغاب، شعاع بهینه، تحلیل سلسله مراتبی، VIKOR، روش تفاضل محدود.

## ۱- مقدمه

محیطی به کارگرفته شده است. در پروژه تونل لورن<sup>۱</sup> تزریق دوغاب برای تمام طول سنگی تونل در نظر گرفته شد. این اقدام باعث کاهش میزان نشت آب زیرزمینی به داخل تونل شد [۱۲]. در کشورهای تولیدکننده زغال، تزریق دوغاب به داخل شکستگی‌های افقی ایجاد شده در مرز جداسدگی روباره به عنوان یک راهکار بهمنظور کاهش میزان نشت سطح زمین انجام می‌گیرد [۱۳، ۱۴].

پارامترهای مختلفی بر کیفیت عملیات تونل‌سازی و پایداری تونل تاثیرگذار هستند. پارامترهایی مانند جابه‌جایی قائم در سقف و کف تونل، جابه‌جایی افقی در دیواره تونل، حداکثر نیروی برشی، حداکثر نیروی محوری و حداکثر لنگر خمی وارد بر سیستم نگهداری، نشت در سطح زمین، هزینه و زمان انجام پروژه، پارامترهای تاثیرگذار بر کیفیت عملیات تونل‌سازی‌اند. تزریق دوغاب با بهبود پارامترهای مقاومتی محیط باعث کاهش نشت در سطح زمین، جابه‌جایی قائم در سقف و کف و جابه‌جایی افقی دیواره تونل می‌شود. همچنین با کاهش حداکثر نیروهای برشی، محوری و لنگرخمی وارد بر سیستم نگهداری منجر به کاهش هزینه‌های مربوط به نگهدارنده‌ها می‌شود. از طرف دیگر افزایش شعاع تزریق منجر به افزایش زمان انجام عملیات تونل‌سازی، کاهش میزان پیوستگی عملیات و همچنین افزایش هزینه‌ها می‌شود. از دیدگاه فنی و اقتصادی، پروژه‌ای موفق خواهد بود که در کمترین زمان و هزینه، بیشترین میزان پایداری را ایجاد کند. از این‌رو در مقاله حاضر شعاع بهینه تزریق به منظور بهبود خصوصیات ژئومکانیکی و طراحی در تونل کوهین به عنوان هدف اصلی تحقیق، تعیین شد. برای نیل به این هدف در گام نخست، بعد از ساخت مدل تونل در نرم افزار FLAC<sup>2D</sup>، پارامترهای موثر بر حفاری و طراحی سیستم نگهداری در شعاع‌های مختلف تزریق (۰، ۵۰، ۱۰۰، ...، ۴۰۰ سانتی‌متر) محاسبه و در نهایت با استفاده از تلفیق دو روش تحلیل سلسه مراتبی و روش VIKOR شعاع بهینه تزریق تعیین شد.

## ۲- مطالعه میدانی

تونل کوهین به طول معادل ۱۶۳۵ متر و سطح مقطع ۱۲۱ مترمربع در قطعه اول راه آهن قزوین- رشت حفر شده است. قطعه اول راه آهن مذکور از ایستگاه سیاه چشم به کیلومتر ۱۵ راه آهن قزوین- زنجان با ارتفاع ۱۲۵۰ متر نسبت به سطح دریا شروع می‌شود و با راستای تقریباً شمالی

به طور کلی حفر تونل و فضاهای زیرزمینی باعث حذف توده‌ای از خاک و یا سنگ می‌شود. حذف این توده از دیدگاه مکانیک سنگ باعث بروز دو پدیده کلی در شرایط تعادل زمین می‌شود. یکی از بین رفتن تعادل اولیه زمین در برگیرنده تونل و دیگری تمایل زمین برای ایجاد تعادل ثانویه است. تلاش زمین برای ایجاد تعادل ثانویه همراه با پدیده‌هایی مانند نشت در سطح زمین، تغییر در سطح ایستایی و ناپایداری در فضاهای حفر شده است [۱۱]. حفر تونل با مقطع بزرگ در محیط‌های خاکی و سنگی سست و به خصوص حفر تونل‌های کم عمق منجر به تشديد عوامل یاد شده می‌شود. عمدۀ تلاش مهندسان و طراحان فضاهای زیرزمینی، کنترل و کاهش اثرات نامطلوب اجرای این سازه‌ها است. با نصب سیستم نگهداری مطمئن (در زمان مناسب) یا با استفاده از روش‌های بهسازی زمین قبل و بعد از حفر تونل یا ترکیبی از این موارد می‌توان موجب کنترل و کاهش موارد نامطلوب شد. یکی از متداول‌ترین روش‌های بهسازی زمین، تزریق دوغاب با فشار است. تزریق دوغاب عبارت از فرآیند تزریق مواد جریان‌پذیر به داخل زمین (عموماً) همراه با فشار به منظور بهبود خصوصیات مهندسی و بهبود رفتار زمین است [۱۲]. سابقه بهسازی زمین از طریق پر کردن خلل و فرج (که در اصطلاح تزریق دوغاب خوانده می‌شود) به پیش از دو قرن قبل بر می‌گردد [۱۳]. هدف اصلی از تزریق دوغاب در محیط، بهبود خصوصیات مقاومتی و پایداری، کنترل و یا کاهش نفوذپذیری در محیط تزریق دوغاب شامل افزایش بهبودهای حاصل در نتیجه تزریق دوغاب و فرآیند ظرفیت تحمل بار و سختی محیط، کاهش نفوذپذیری و یا کاهش جریان آبهای زیرزمینی، تقویت پی، پایدارسازی تونل و حتی افزایش وزن مخصوص (چگالش) برای کاهش روانگرایی خاک است [۱۲].

تزریق دوغاب با فشار در بازه وسیعی از سنگ‌ها، شامل سنگ‌های رسوبی ضعیف تا سنگ‌های گرانیتی، در فشارهای بالای آب زیرزمینی و همچنین در تونل‌های سطحی و شهری مورد استفاده قرار گرفته است [۱۰، ۱۱]. تزریق دوغاب از طریق بهبود ویژگی‌های مقاومتی، نفوذپذیری افزایش وزن مخصوص و همچنین بهبود چسبندگی توده خاک و یا سنگ موجب پایداری فضای زیرزمینی حفر شده می‌شود [۱۱]. تزریق دوغاب در پروژه‌های تونل‌سازی و معدنی زیادی برای بهبود شرایط معدنکاری و تونل‌سازی و کاهش آسیب‌های زیست-

های ژئومکانیکی ساختگاه تونل عملیات تزریق پس از حفر تونل پیشاهنگ انجام می‌شود. بدین منظور با دستگاه حفاری چالهایی به قطر ۵ تا ۱۰ سانتی‌متر و به عمق لازم حفر و از این چال‌ها ماده تزریقی با فشار لازم به داخل محیط هدایت شد. مشخصات ژئومکانیکی تونل قبل و بعد از تزریق دو غبار در جدول ۱ آورده شده است [۱۵].

## جدول ۱: مشخصات ژئومکانیکی تونل کوهین قبل و بعد از تزریق

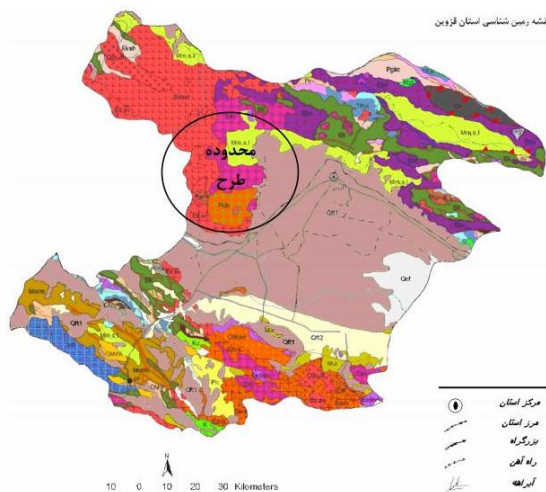
پارامترهای ژئومکانیکی	قبل از تزریق	بعد از تزریق	
نسبت پوآسون	-	$0.35$	$0.25$
مدول الاستیسیته	(Pa)	$3.5 \times 10^8$	$7 \times 10^4$
زاویه اصکاک داخلی	(Degree)	۳۱	۳۱
جرم مخصوص	(Kg/m <sup>3</sup> )	۲۰۰۰	۲۲۰۰
مدول بالک	(Pa)	$3.89 \times 10^8$	$4.66 \times 10^8$
مدول برشی	(Pa)	$1.29 \times 10^8$	$2.18 \times 10^8$
چسبنده‌گی	(Pa)	$2.7 \times 10^5$	$5.7 \times 10^5$

۳- مدلسازی عددی یا استفاده از نرم‌افزار  $FLAC^3D$

در مقاله حاضر به منظور شبیه‌سازی رفتار تونل و محیط دربرگیرنده آن از نرم‌افزار  $\text{FLAC}^{\text{2D}}$  استفاده شده است. نرم‌افزار  $\text{FLAC}^{\text{2D}}$  یک نرم‌افزار تحلیل عددی بر اساس روش تفاضل محدود است که برای محاسبات مهندسی مورد استفاده قرار می‌گیرد. این نرم‌افزار رفتار سازه‌هایی را که در آن خاک یا سنگ و سایر مصالحی که بعد از حد تسليیم به حالت پلاستیک می‌رسند، به خوبی مدلسازی می‌کند. مدل‌های رفتاری متنوعی که در این برنامه تعریف شده است به طراحان فضاهای زیرزمینی این اجازه را می‌دهد تا مسایل مختلف را تحت رفتارهای غیر خطی مدلسازی و تحلیل کنند [۱۶]. در مدلسازی انجام شده برای پروژه تونل راه‌آهن کوهین، ابعاد مدل به اندازه‌های در نظر گرفته شده است که محدوده تونل تحت تاثیر مربها قرار نگیرد. برای تحلیل رفتار پلاستیک از مدل موهر - کلمب و برای مدل کردن رفتار پیش از المان تقدیم شده است.

تخمین سیستم نگهداری اولیه مورد نیاز برای پایدارسازی تونل یکی از مسایل مهم در طراحی تونل به شمار می‌رود. در پیروزه تونل کوهین برای تعیین پوشش اولیه مناسب و همچنین بهمنظور حفظ پایداری فضای حفر شده و کمک به

- جنوبی و طول ۱۷۲ کیلومتر از کنار رستاههای دولت-آباد، دستجرد، کندر، مشکین و یل آباد عبور می‌کند و در انتهای مسیر خود به نقطه‌ای که دارای ارتفاع معدال ۱۳۰۰ متر از سطح آب‌های آزاد است می‌رسد. موقعیت جغرافیایی و زمین‌شناسی قطعه اول راه آهن محور قزوین-رشت در شکل ۱ نشان داده شده است.



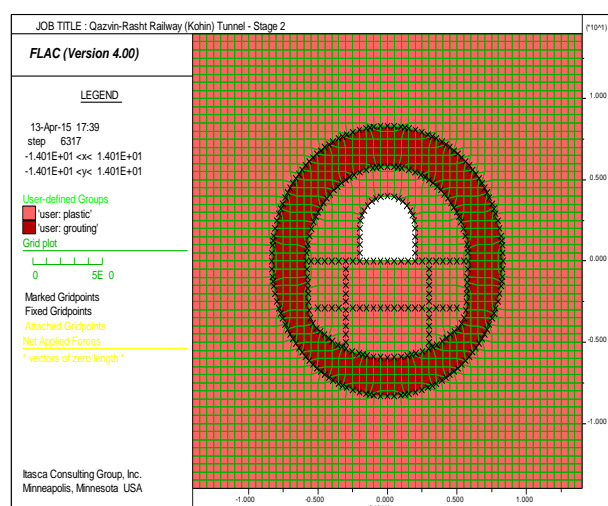
شكل ۱: موقعیت جغرافیایی و زمین‌شناسی قطعه اول راه آهن محور قزوین - رشت

مطالعات زمین‌شناسی انجام شده در مورد ساختگاه تونل نشان‌دهنده این موضوع است که تونل در رسوبات سازند هزار دره قرار دارد و جنس زمین پوشاننده آن از تناب لایه‌های مختلف رسی، ماسه‌ای و کنگلومراهای هوازده است. سست بودن ساختگاه تونل، قوارگیری بخش اعظم تونل در زیر سطح ایستابی و بزرگی مقطع تونل از مهمترین ویژگی‌های این تونل است. ۴ گمانه اکتشافی برای شناسایی وضعیت ژئومکانیکی ساختگاه تونل حفر شده‌اند. با استفاده از نمونه‌های گرفته شده از این گمانه‌ها، مشخصات ژئومکانیکی توده سنگ در برگیرنده تونل تعیین شد. نتایج حاصل از آزمایش‌های انجام شده، نشان دهنده پایین بودن ویژگی‌های ژئومکانیکی توده سنگی در برگیرنده تونل است. بهدلیل پایین بودن ویژگی‌های ژئومکانیکی منطقه، بهسازی زمین با استفاده از تزریق دوغاب به عنوان یکی از طرح‌های اولیه حفر تونل در نظر گرفته شد. در الگوی پیشنهادی اولیه، عملیات حفر تونل به همراه تزریق دوغاب در ۴ مرحله به ترتیب شامل حفر تونل پیشاہنگ، حفاری طاق تونل، حفر بخش مرکزی و پا طاق‌ها و در نهایت حفر قسمت کف تونل است. در مرحله نخست از عملیات حفاری به منظور بهمود ویژگی -

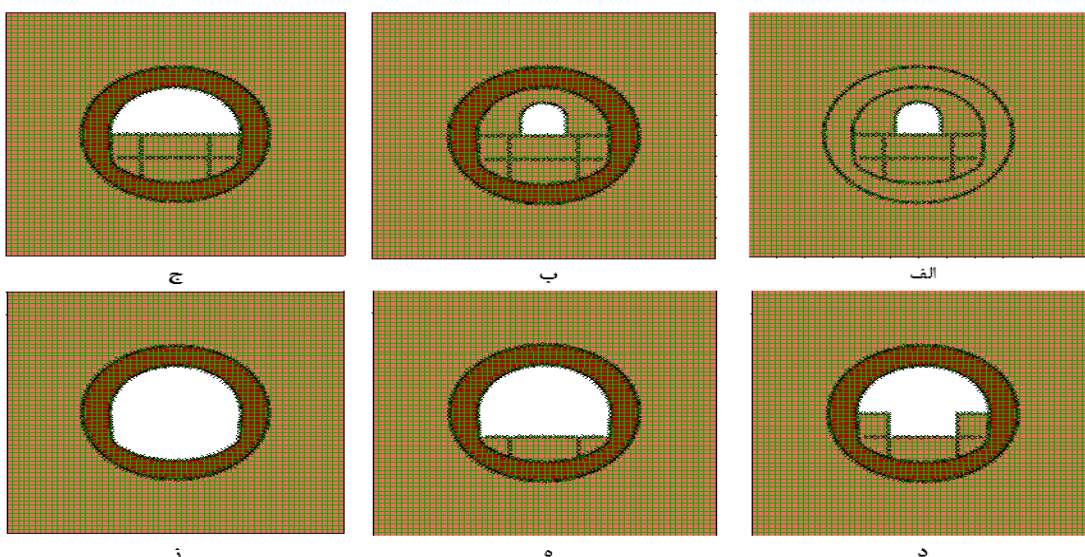
مراحل مدلسازی حفر تونل کوهین به ترتیب شامل مراحل ۶ گام زیر می‌شود.

- ۱- حفر تونل پیشاہنگ بهدهانه ۴ متر و نصب سیستم نگهداری موقت
- ۲- تزریق دوغاب با شعاع معین
- ۳- حذف سیستم نگهداری سقف
- ۴- حفر بخش مرکزی تونل
- ۵- حفر پاطاق‌ها
- ۶- حذف سیستم نگهداری موقت، حفر قسمت کف تونل و در نهایت نصب سیستم نگهداری نهایی کف تونل در شکل‌های ۳-الف تا ۳-و، مراحل مختلف مدلسازی حفر تونل در نرم‌افزار FLAC<sup>2D</sup> برای شعاع تزریق دوغاب ۱/۵ متر نشان داده است. در این تحقیق سعی شد با استفاده از نرم افزار FLAC<sup>2D</sup> تاثیر افزایش شعاع تزریق دوغاب از ۰/۵ سانتی‌متر تا ۰/۴۰ سانتی‌متر با گام‌های ۰/۵ سانتی‌متری بر پارامترهای جابه‌جایی قائم در کف و سقف تونل، جابه‌جایی افقی دیواره تونل، میزان نشست در سطح زمین و همچنین حداقل نبروی برشی، محوری و لنگر خمی وارد بر سیستم نگهداری مورد بررسی قرار گیرد. نتایج به دست آمده از مدلسازی عددی در شکل‌های ۴ تا ۷ نشان داده شده‌اند.

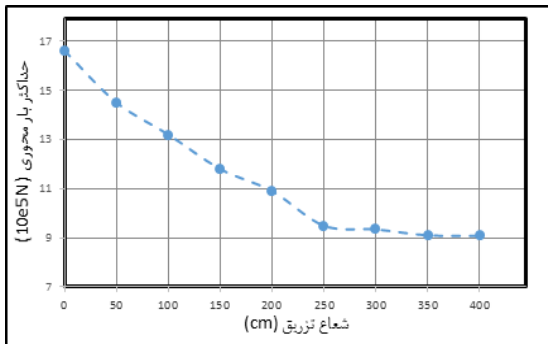
ایجاد تعادل جدید از روش همگرایی - همچواری و رسم منحنی مشخصه زمین استفاده شده است. با توجه به تحلیل-های انجام شده، پوشش اولیه مناسب شامل ۳۵ سانتی‌متر شاتکریت به همراه تیرآهن IPE200 در فواصل ۰/۵ متری است همچنین گام پیشروی مجاز، ۱ متر در نظر گرفته شد [۱۷]. نمای کلی از شبیه‌سازی عددی انجام شده برای پروژه تونل کوهین در شکل ۲ نشان داده است.



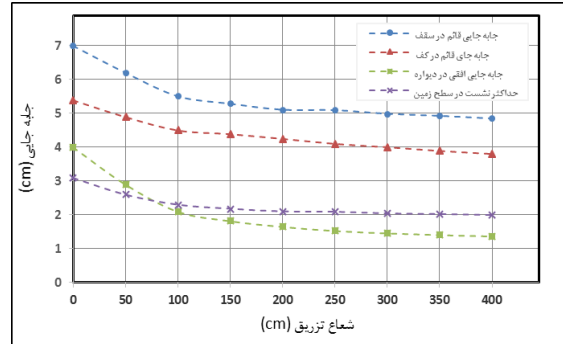
شکل ۲: مدلسازی عملیات تزریق به شعاع ۱/۵ متر بعد از حفر تونل پیشاہنگ در نرم افزار FLAC<sup>2D</sup>



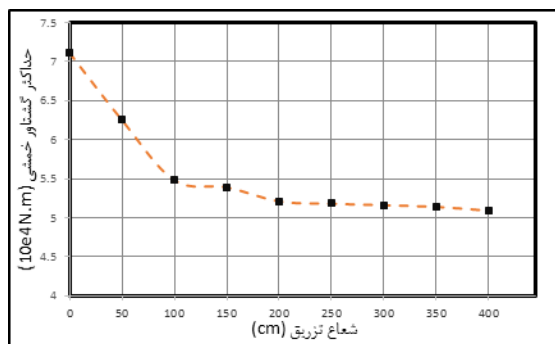
شکل ۳: الف-گام اول، حفر تونل پیشاہنگ، ب-گام دوم، تزریق به شعاع ۱/۵ متر، ج-گام سوم، حفر قسمت طاق تونل، د-گام چهارم، حفر قسمت میانی، ۵-گام پنجم، حفر پاطاق‌ها، و-گام آخر، حفر کف تونل



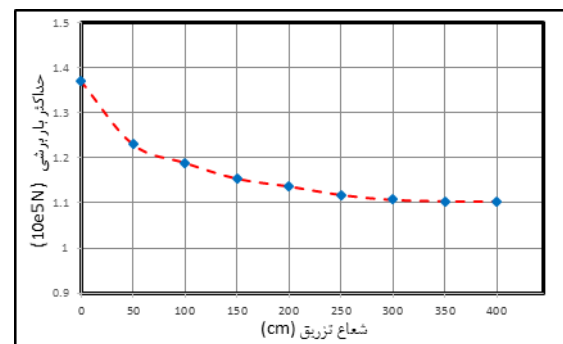
شکل ۵: تاثیر افزایش شاعع تزریق بر حداکثر بار محوری وارد بر سیستم نگهداری



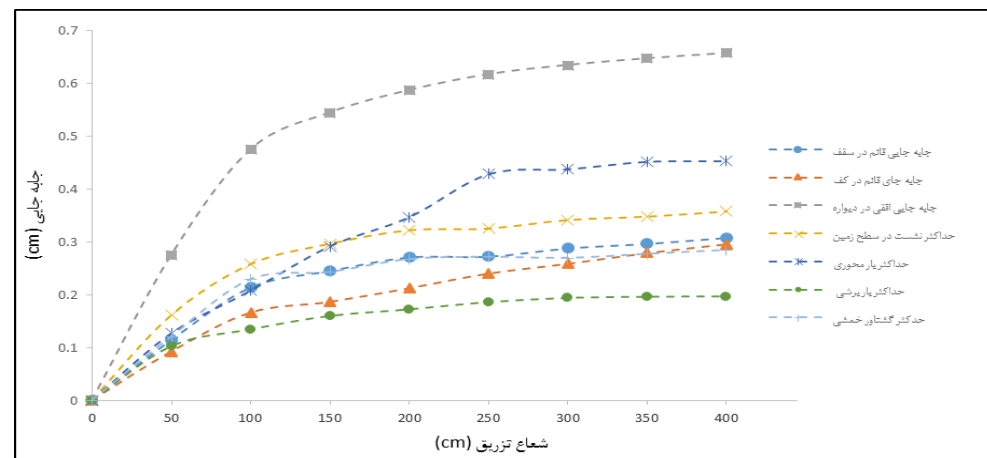
شکل ۶: تاثیر افزایش شاعع تزریق بر جایه جایی قائم در کف و سقف، جایه جایی افقی در دیواره تونل و نشست سطح زمین



شکل ۷: تاثیر افزایش شاعع تزریق بر حداکثر بار برشی وارد بر سیستم نگهداری



شکل ۸: درصد تغییرات پارامترهای یاد شده بهای افزایش شاعع تزریق



چنین استنباط کرد که با افزایش شاعع تزریق، میزان حداکثر نیروی محوری، برشی و لنگر خمی ابتدا به سرعت کاهش می‌یابد و سپس از سرعت کاهش آنها کاسته می‌شود. با توجه به نتایج حاصل از تحلیل‌های عددی، افزایش شاعع تزریق موجب بهبود پارامترهای یاد شده می‌شود. بیشینه

با توجه به شکل ۴، مقدار نشست در سطح زمین، مقدار جایه جایی قائم در کف و سقف تونل و جایه جایی افقی دیواره تونل با افزایش میزان شاعع تزریق در ابتدا به سرعت کاهش می‌یابد و پس از شاعع ۱۵۰ سانتی متر تقریباً به مقدار ثابتی می‌رسد. همچنین با توجه به شکل‌های ۵ تا ۷ نیز می‌توان

که در آن  $\lambda$  و  $W$  به ترتیب مقدار ویژه و بردار ویژه ماتریس مقایسه زوجی  $A$  است. در حالتی که ابعاد ماتریس بزرگتر باشد، محاسبه این مقادیر بسیار وقتگیر است، بنابراین برای محاسبه  $\lambda$  مقدار دترمینان ماتریس  $A - \lambda I$  مساوی با صفر قرار داده می‌شود و با قراردادن بزرگترین مقدار  $\lambda$  حاصله در رابطه ۳ مقادیر  $W$  به دست می‌آید.

$$(A - \lambda_{\max} I) \times W = 0 \quad (3)$$

بردار وزن به دست آمده از این روش به صورت زیر است.

$$W = [0.127 \quad 0.056 \quad 0.087 \quad 0.127 \quad 0.056 \quad 0.087 \quad 0.031 \quad 0.249 \quad 0.181]$$

#### ۵- کاربرد روش VIKOR برای تعیین شعاع بهینه تزریق

در مسایل تصمیم‌گیری چند معیاره، هر گزینه با چند شاخص ارزیابی می‌شود و انتخاب گزینه برتر از طریق تعیین سطح مورد نظر برای معیارها و یا از طریق مقایسه زوجی معیارها و گزینه‌ها انجام می‌گیرد. در این روش‌ها، شاخص‌های کیفی به اعداد کمی تبدیل می‌شود و با مقایسه شاخص‌ها با یکدیگر بر اساس اهمیت، گزینه‌ها اولویت‌بندی می‌شوند. در سال ۱۹۸۸ دو دانشمند به نامهای اپریکوویک و تزنگ روش VIKOR را ارائه و در پی آن دیگران مبانی این روش را توسعه دادند [۱۹]. این روش که بر پایه بر برنامه‌ریزی توافقی مسایل تصمیم‌گیری چند معیاره است، مسایلی با معیارهای نامتناسب و ناسازگار را مورد ارزیابی قرار می‌دهد. در شرایطی که فرد تصمیم‌گیرنده قادر به شناسایی و بیان برتری‌های یک مساله در زمان شروع و طراحی آن نباشد، این روش به عنوان ابزاری موثر برای تصمیم‌گیری مطرح می‌شود.

کاربردهای گوناگونی از روش VIKOR ارائه شده است که از جمله مهترین آن‌ها، روش VIKOR در مهندسی زلزله [۲۰]، کاربرد روش چند معیاره فازی در مهندسی زلزله [۲۱]، مقایسه روش VIKOR با روش شباهت به گزینه ایده‌آل [۲۲]، مقایسه این روش با سایر روش‌های تصمیم‌گیری [۲۳]، ارزیابی ریسک در مد شکست و تجزیه و تحلیل اثرات آن با استفاده از روش VIKOR توسعه یافته [۲۴]، روش یکپارچه تحلیل AHP-VIKOR برای انتخاب محل کارخانه [۲۵]، کاربرد روش تصمیم‌گیری چندمعیاره در انتخاب یک طرح انرژی تجدیدپذیر در اسپانیا [۲۶] و کاربرد روش Fuzzy-VIKOR برای برنامه‌ریزی منابع آب [۲۷] را

تغییرات مربوط به پارامتر جابه‌جایی افقی دیواره تونل با ۶۵/۷۵ درصد کاهش و کمینه تغییرات مربوط به پارامتر حداکثر بار برشی وارد بر سیستم نگهداری با ۱۹/۷۲ درصد کاهش است. شکل ۸ درصد تغییرات پارامترهای یاد شده به ازای افزایش شعاع تزریق را نشان می‌دهد.

از دیدگاه فنی، افزایش شعاع تزریق باعث بهبود شرایط تونل‌سازی می‌شود ولی از دیدگاه اقتصادی، افزایش شعاع تزریق دوغاب باعث کاهش میزان پیوستگی عملیات، افزایش هزینه‌ها و همچنین افزایش زمان تونل‌سازی نیز می‌شود. بنابراین لازم است تا به یک شعاع بهینه از دیدگاه فنی و اقتصادی دست یافت. در ادامه این تحقیق با استفاده از روش تحلیل سلسه مراتبی و به کارگیری روش VIKOR شعاع بهینه تزریق تعیین شد.

#### ۴- تعیین بردار وزن معیارها

در این بخش از با استفاده از روش بردار ویژه و با استناد به نظر نویسنده‌گان، بردار وزن معیارها تعیین شد. به همین منظور در ابتدا، ماتریس مقایسه زوجی معیارها به صورت رابطه ۱ تشکیل شد.

$$\begin{matrix} & c_1 & c_2 & c_3 & c_4 & c_5 & c_6 & c_7 & c_8 & c_9 \\ \begin{matrix} c_1 \\ c_2 \\ c_3 \\ c_4 \\ c_5 \\ c_6 \\ c_7 \\ c_8 \\ c_9 \end{matrix} & \left[ \begin{array}{ccccccccc} 1 & 2 & 2 & 4 & 2 & 1 & 2 & 1/2 & 1/2 \\ 1/2 & 1 & 1/2 & 2 & 1/2 & 1/2 & 1 & 1/4 & 1/3 \\ 1/2 & 2 & 1 & 3 & 1 & 1/2 & 2 & 1/3 & 1/2 \\ 1/4 & 1/2 & 1/3 & 1 & 1/3 & 1/4 & 1/2 & 1/6 & 1/5 \\ 1/2 & 2 & 1 & 3 & 1 & 1/2 & 2 & 1/3 & 1/2 \\ 1 & 2 & 2 & 4 & 2 & 1 & 2 & 1/2 & 1/2 \\ 1/2 & 1 & 1/2 & 2 & 1/2 & 1/2 & 1 & 1/4 & 1/2 \\ 2 & 4 & 3 & 6 & 2 & 2 & 4 & 1 & 2 \\ 2 & 3 & 2 & 5 & 2 & 2 & 2 & 1/2 & 1 \end{array} \right] \end{matrix} \quad (1)$$

پس از تشکیل ماتریس مقایسه زوجی معیارها، وزن نسبی معیارها محاسبه شد. روش‌های مختلفی برای محاسبه وزن نسبی بر اساس ماتریس مقایسه زوجی وجود دارد که مهم‌ترین آن‌ها، روش کمترین مربعات، روش کمترین مربعات لگاریتمی، روش بردار ویژه و روش‌های تقریبی است. در این تحقیق به منظور تعیین درجه اهمیت معیارها از روش بردار ویژه استفاده شد. از بین روش‌های محاسبه وزن نسبی، روش بردار ویژه دقیق‌تر است. در این روش  $W_i$  به گونه‌ای تعیین می‌شود که رابطه ۲ برقرار باشد [۱۸].

$$A.W = \lambda.W \quad (2)$$

استفاده از این روش، مراحل انجام کار را می‌توان به ۵ بخش اصلی به شرح زیر تقسیم کرد:

### ۱-۵- تشکیل ماتریس تصمیم و بی بعد کردن آن

با توجه به تعداد معیارها، تعداد گزینه‌ها و ارزیابی همه گزینه‌ها برای معیارهای مختلف، ماتریس تصمیم به صورت زیر تشکیل می‌شود:

$$X = \begin{bmatrix} x_{11} & \dots & x_{1n} \\ \vdots & \dots & \dots \\ x_{m1} & \dots & x_{mn} \end{bmatrix}$$

که در آن  $x_{ij}$  عملکرد گزینه  $i$  ( $i=1,2,\dots,m$ ) در ارتباط با معیار  $j$  ( $j=1,2,\dots,n$ ) است. در این مرحله معیارها با ابعاد مختلف به معیارهایی بی بعد تبدیل و ماتریس  $F$  به صورت زیر تعریف می‌شود:

$$F = \begin{bmatrix} f_{11} & \dots & f_{1n} \\ \vdots & \dots & \dots \\ f_{m1} & \dots & f_{mn} \end{bmatrix}$$

در این ماتریس  $f_j^*$  به صورت رابطه ۴ تعریف می‌شود:

$$f_{ij} = \frac{x_{ij}}{\sqrt{\sum_{i=1}^m x_{ij}^2}} \quad (4)$$

به همین منظور در ابتدا با استفاده از مقیاس خطی ساعتی که در جدول ۴ درج شده است داده‌های کیفی به داده‌های کمی تبدیل می‌شوند. سپس با توجه به رابطه ۴ ماتریس بی بعد داده‌ها محاسبه می‌شود.

می‌توان نام برد. در این تحقیق ابتدا با استفاده از فرآیند تحلیل سلسله مراتبی، وزن (درجه اهمیت) هر یک از پارامترها با استناد به نظر نویسنده‌گان محاسبه شود سپس با به کارگیری روش VIKOR شاع بھینه تزریق محاسبه شد. با توجه به مساله مورد نظر، معیارها و گزینه‌های تعیین شده در جدول ۲ ذکر شده‌اند.

جدول ۲: معیارها و گزینه‌ها برای تعیین شاع بھینه تزریق در پروژه‌های توپلیزازی

گزینه‌ها (شعاع تزریق)	معیارها
بدون تزریق	جایه‌جایی قائم در سقف $C_1$
۵۰ سانتی‌متر	جایه‌جایی قائم در کف $C_2$
۱۰۰ سانتی‌متر	جایه‌جایی افقی دیواره $C_3$
۱۵۰ سانتی‌متر	نشست در سطح زمین $C_4$
۲۰۰ سانتی‌متر	حداکثر بار محوری $C_5$
۲۵۰ سانتی‌متر	حداکثر نیروی برشی $C_6$
۳۰۰ سانتی‌متر	حداکثر لنگر خمی $C_7$
۳۵۰ سانتی‌متر	هزینه عملیات $C_8$
۴۰۰ سانتی‌متر	زمان اجرا $C_9$

در میان معیارهای ذکر شده، دو معیار زمان و هزینه دارای ارزش مثبت و بقیه معیارها دارای ارزش منفی هستند. همچنین نتایج حاصل از نرم افزار FLAC2D برای هر یک از پارامترها در شاعهای مختلف تزریق در جدول ۳ درج شده است.

اگر در یک مساله تصمیم‌گیری چند معیاره،  $n$  معیار و  $m$  گزینه وجود داشته باشد، به منظور انتخاب بهترین گزینه با

جدول ۳: نتایج حاصل از مدلسازی عددی در نرم افزار FLAC<sup>2D</sup>

حداکثر لنگر خمی (KN.m)	حداکثر نیروی برشی (KN)	حداکثر بار محوری (KN)	نشست زمین (cm)	جایه‌جایی افقی دیواره (cm)	جایه‌جایی قائم در کف (cm)	جایه‌جایی قائم در سقف (cm)	شعاع تزریق (cm)
۷۱۱/۴	۱۳۷/۴	۱۶۶۳/۶	۳/۱	۴	۵/۴	۷	۰
۶۲۵/۳	۱۲۳/۳	۱۴۵۳	۲/۶	۲/۹	۴/۹	۶/۲	۵۰
۵۴۸/۴	۱۱۸/۹	۱۳۱۸	۲/۳	۲/۱	۴/۵	۵/۵	۱۰۰
۵۳۸/۵	۱۱۵/۴	۱۱۷۸	۲/۱۸	۱/۸۲	۴/۳۹	۵/۲۸	۱۵۰
۵۲۱/۱	۱۱۳/۷	۱۰۸۶	۲/۱	۱/۶۵	۴/۲۵	۵/۱	۲۰۰
۵۱۸/۲	۱۱۱/۸	۹۵۰/۴	۲/۰۹	۱/۵۳	۴/۱	۵/۰۹	۲۵۰
۵۱۶/۶	۱۱۰/۷	۹۳۵	۲/۰۴	۱/۴۶	۴	۴/۹۸	۳۰۰
۵۱۴/۱	۱۱۰/۴	۹۱۱/۱	۲/۰۲	۱/۴۱	۳/۸۹	۴/۹۲	۳۵۰
۵۰۸/۹	۱۱۰/۳	۹۰۹/۵	۱/۹۹	۱/۳۷	۳/۸	۴/۸۴	۴۰۰

که در آن  $w_j$  مقدار وزن مورد نظر برای معیار  $j$  است. در روش برنامه‌ریزی توافقی اگر پارامتر  $P$  مساوی یک باشد، همان مقدار  $S_i$  به دست می‌آید:

$$L(A_i) = \sum_{j=1}^n w_j \cdot \frac{f_j^* - f_{ij}}{f_j^* - f_j^-} = S_i \quad (11)$$

در روش برنامه‌ریزی توافقی اگر پارامتر  $P$  مساوی  $\infty$  باشد، همان مقدار  $R_i$  به دست می‌آید:

$$L_\infty(A_i) = \text{Max} \left[ w_j \cdot \left( \frac{f_j^* - f_{ij}}{f_j^* - f_j^-} \right) \right] = R_i \quad (12)$$

مقدار  $Q$  با توجه به رابطه زیر محاسبه می‌شود:

$$Q_i = \nu \left[ \frac{S_i - S^-}{S^* - S^-} \right] + (1-\nu) \left[ \frac{R_i - R^-}{R^* - R^-} \right] \quad (13)$$

در رابطه ۱۳ مقادیر  $R^*$ ,  $R^-$ ,  $S^*$  و  $S^-$  به صورت زیر تعریف می‌شوند:

$$S^- = \text{Min } S_i \quad S^* = \text{Max } S_i \quad R^- = \text{Min } R_i \quad R^* = \text{Max } R_i$$

در این روابط:

$\frac{R^* - R^-}{R_i - R^-}$  بیان‌کننده فاصله از حل ایده‌آل و  $\frac{S^* - S^-}{S_i - S^-}$  بیان‌کننده فاصله از حل ضد ایده‌آل است و پارامتر  $\nu$  با توجه به میزان توافق گروه تصمیم‌گیرنده انتخاب می‌شود. در صورت توافق بالا، مقدار آن بیش از  $0.5$ ، در صورت توافق با اکثریت آرا مقدار آن مساوی  $0.5$  و در صورت توافق پایین، مقدار آن کمتر از  $0.5$  خواهد بود. مقدار  $Q$  تابعی از  $S_i$  و  $R_i$  بوده که خود این مقادیر به ترتیب مقادیر فاصله از حل ایده‌آل به ازای  $P=1$  و  $P=\infty$  در برنامه‌ریزی توافقی است.

#### ۴-۵-۵-مرتب کردن گزینه‌ها بر اساس مقادیر $R$ , $S$ و $Q$

در این مرحله با توجه به مقادیر  $R$ ,  $S$  و  $Q$  گزینه‌ها در سه گروه، از کوچکتر به بزرگتر مرتب می‌شوند. در نهایت گزینه‌ای به عنوان گزینه برتر انتخاب می‌شود که در هر سه گروه به عنوان گزینه برتر شناخته شود. در گروه  $Q$  گزینه‌ای به عنوان گزینه برتر انتخاب می‌شود که بتواند دو شرط زیر را داشته باشد:

**شرط ۱:** اگر گزینه‌های  $A_1$  و  $A_2$  به ترتیب اولین و دومین گزینه برتر در گروه و  $n$  بیانگر تعداد گزینه‌ها باشد، رابطه ۱۴ صدق کند:

جدول ۴: تبدیل معیار کیفی به کمی (Saaty 1980)

کیفی	مشخصه خوب	متوسط	بد	خوبی بد	معادل کمی
۹	۷	۵	۳	۱	۲، ۴، ۶ و ۸ استفاده می‌شود

همچنین برای ترجیعات بین فواید از مقادیر  $2, 4, 6$  و  $8$  استفاده می‌شود

#### ۴-۵-۲-تعیین بردار وزن

بردار وزن به دست آمده از روش بردار ویژه برای هر معیارها به صورت زیر است:

$$W = [0.127 \ 0.056 \ 0.087 \ 0.031 \ 0.087 \ 0.127 \ 0.056 \ 0.249 \ 0.181]$$

#### ۴-۵-۳-تعیین بهترین و بدترین مقدار از میان مقادیر موجود

برای هر معیار پس از تعیین بردار وزن، بهترین ( $f_j^*$ ) مقدار برای معیارهای مثبت و منفی به ترتیب از روابط ۵ و ۶ محاسبه می‌شوند:

$$f_j^* = \text{Max}_i f_{ij} \quad (5)$$

$$f_j^- = \text{Min}_i f_{ij} \quad (6)$$

بدترین ( $f_j^-$ ) مقدار برای معیارهای مثبت و منفی به ترتیب از روابط ۷ و ۸ محاسبه می‌شوند:

$$f_j^- = \text{Min}_i f_{ij} \quad (7)$$

$$f_j^+ = \text{Max}_i f_{ij} \quad (8)$$

در این روابط  $f_j^*$  بهترین مقدار معیار  $j$  از بین تمام گزینه‌ها و  $f_j^-$  بدترین مقدار معیار  $j$  از بین تمام گزینه‌ها است.

#### ۴-۵-۴-محاسبه مقدار سودمندی<sup>۱</sup> ( $S$ ) و مقدار تاسف<sup>۲</sup> ( $R$ ) و

شاخص VIKOR

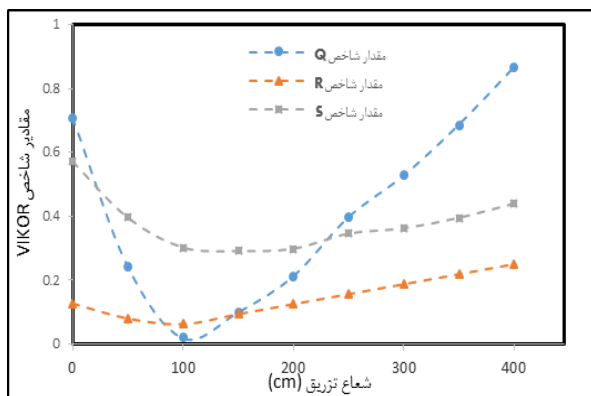
مقادیر  $S$  و  $R$  با توجه به روابط ۹ و ۱۰ محاسبه می‌شوند:

$$S_i = \sum_{j=1}^n w_j \frac{f_j^* - f_{ij}}{f_j^* - f_j^-} \quad (9)$$

$$R_i = \text{Max} \left\{ w_j \frac{f_j^* - f_{ij}}{f_j^* - f_j^-} \right\} \quad (10)$$

جدول ۵: مقادیر مرتب شده برای سه پارامتر به دست آمده Q و R و S تعیین شده با روش VIKOR

	S	R	Q
A <sub>4</sub>	۰/۲۹۱	A <sub>۳</sub>	۰/۰۶۲
A <sub>۵</sub>	۰/۲۹۷	A <sub>۲</sub>	۰/۰۷۹
A <sub>۳</sub>	۰/۳۰۲	A <sub>۴</sub>	۰/۰۹۳
A <sub>۶</sub>	۰/۳۴۵	A <sub>۵</sub>	۰/۱۲۴
A <sub>۷</sub>	۰/۳۶۰	A <sub>۱</sub>	۰/۱۲۷
A <sub>۸</sub>	۰/۳۹۴	A <sub>۶</sub>	۰/۱۵۵
A <sub>۲</sub>	۰/۳۹۵	A <sub>۷</sub>	۰/۱۸۶
A <sub>۹</sub>	۰/۴۳۹	A <sub>۸</sub>	۰/۲۱۷
A <sub>۱</sub>	۰/۵۷۱	A <sub>۹</sub>	۰/۲۴۹
S*	۰/۵۷۱	S <sup>-</sup>	۰/۲۹۱
R*	۰/۲۱۷۸	R <sup>-</sup>	۰/۰۶۲۲
		V	۰/۵



شکل ۹: ارتباط شاعر تزریق با شاخص‌های R, S و Q

مدلسازی تونل و محیط در برگیرنده آن شد. پارامترهای جایه‌جایی قائم در سقف و کف تونل، جایه‌جایی افقی دیواره تونل، نشست در سطح زمین، حداکثر بار محوری، حداکثر نیروی برشی و حداکثر لنجر خمی وارد بر سیستم نگهداری، از دیدگاه فنی به عنوان تاثیرگذارترین پارامترها بر کیفیت تونل‌سازی انتخاب شدند. در مدل‌سازی عددی انجام شده تاثیر افزایش شاعر تزریق بر روی پارامتر تاثیرگذار بر کیفیت تونل‌سازی مورد بررسی قرار گرفت. به همین منظور مقدار شاعر تزریق دوغاب در مدل عددی از مقدار صفر سانتی‌متر (عدم انجام تزریق) با گام‌های ۵۰ سانتی‌متری تا مقدار ۴۰۰ سانتی‌متر افزایش یافت. نتایج به دست آمده از مدل‌های عددی نشان‌دهنده این موضوع است که افزایش شاعر تزریق در ابتدا به سرعت باعث بهبود پارامترهای مورد نظر شده و سپس از سرعت تاثیرگذاری آن کاسته می‌شود. از سوی دیگر، از دیدگاه اقتصادی افزایش شاعر تزریق باعث کاهش

$$Q(A_2) - Q(A_1) \geq \frac{1}{n-1} \quad (14)$$

شرط ۲: گزینه  $A_1$  باید حداقل در یکی از گروه‌های S و R به عنوان رتبه برتر شناخته شود. زمانی که شرط اول برقرار نباشد، مجموعه‌ای از گزینه‌ها به صورت زیر به عنوان گزینه‌های برتر انتخاب می‌شوند:

$$A_1, A_2, \dots, A_m = \text{گزینه‌های برتر}$$

بیشترین مقدار m با توجه به رابطه ۱۵ محاسبه می‌شود:

$$Q(A_m) - Q(A_1) < \frac{1}{n-1} \quad (15)$$

زمانی که شرط دوم برقرار نباشد دو گزینه  $A_1$  و  $A_2$  به عنوان گزینه‌های برتر انتخاب می‌شوند.

مقادیر مرتب شده برای سه پارامتر Q و R و S (نزولی) در جدول ۵ ارائه شده است. با توجه به بررسی‌های به عمل آمده،

گزینه ای به عنوان گزینه برتر انتخاب می‌شود که در هر سه گروه به عنوان گزینه برتر شناخته شود مشاهده می‌شود گزینه A<sub>3</sub> در دو گروه R و Q به عنوان گزینه برتر معرفی شده است ولی از نظر شاخص S، این گزینه در رتبه سوم قرار دارد. برای انتخاب این گزینه به عنوان گزینه برتر باید دو شرط لازم مورد بررسی قرار گیرد. با بررسی شرط اول مشخص می‌شود که اختلاف گزینه‌های اول و دوم بیشتر از مقدار ۱۲۵٪ است در نتیجه شرایط مساله شرط اول را تأمین می‌کند و بنابراین گزینه A<sub>3</sub> به عنوان شاعر بینه برای عملیات تزریق پیشنهاد می‌شود. در شکل ۱۳ ارتباط بین مقادیر به دست آمده برای شاخص R, Q و S با شاعر تزریق نشان داده شده است. همان‌طور که در شکل ۹ نشان داده شده، مقدار کمترین Q و R در شاعر ۱۰۰ سانتی‌متر و کمینه مقدار شاخص S در شاعر ۱۵۰ سانتی‌متر حاصل می‌شود.

## ۶- نتیجه‌گیری

در این تحقیق با استفاده از روش‌های تصمیم‌گیری چند معیاره و مدل‌سازی عددی، شاعر بینه تزریق دوغاب در پروژه تونل کوهین به منظور بهبود خواص ژئومکانیکی محیط و بهبود طراحی تونل تعیین شد. برای این منظور با در دست داشتن ویژگی‌های ژئومکانیکی منطقه قبل و بعد از تزریق دوغاب و با استفاده از نرم افزار عددی FLAC<sup>2D</sup> اقدام به

Trenchless Technology (NASTT), March 11-15, Nashville, Tennessee, 1-9.

[11] Xanthakos, P., Abranson, L., and Bruce, D. (1994). "Ground control and Improvement". Wiley-Interscience, New York, pp. 936.

[12] Hoen, A. H., and Nelson, B. (2015). "Rock Mass Grouting in the Løren Tunnel: Case Study with the Main Focus on the Groutability and Feasibility of Drill Parameter Interpretation". Rock Mechanics and Rock Engineering, 47(3): 967-983.

[13] Xuan, D., and Xu, J. (2014). "Grout injection into bed separation to control surface subsidence during longwall mining under villages: case study of Liudian coal mine". Natural Hazards, 73(2): 883 – 906.

[14] Xuan, D., Xu, J., Wang, B., and Teng , H. (2015). "Borehole Investigation of the Effectiveness of Grout Injection Technology on Coal Mine Subsidence Control". Rock Mechanics and Rock Engineering, 48(6): 2435-2445.

[۱۵] مهندسین مشاور هرازراه، ۱۳۸۳؛ "دومین گزارش تولی راه آهن کوهین محور قزوین-رشت-بندرانزلی".

[16] Itasca Consulting Group Inc., (1999). FLAC2D version 4.10 User's manual, Itasca Consulting Group Inc, Minneapolis.

[۱۷] میکانیل، رضا؛ "تحلیل پایداری و طراحی سیستم نگهداری تونل راه آهن کوهین محور قزوین - رشت"، پایان نامه کارشناسی ارشد، دانشکده مهندسی معدن و ژئوفیزیک، دانشگاه صنعتی شاهرود

[18] Saaty, T. (1980). "The Analytic Hierarchy Process: Planning, Priority Setting, Resource, Allocation". McGraw-Hill, New York, pp. 287.

[۱۹] عطایی، محمد؛ ۱۳۹۳؛ "تصمیم‌گیری چند معیاره"، دانشگاه صنعتی شاهرود، ویرایش اول، چاپ دوم، ص ۳۳۳.

[20] Opricovic, S., and Tzeng, G. H. (2002). "multicriteria planning of post-earthquake sustainable reconstruction". Computer-Aided Civil and Infrastructure Engineering, 17(3): 211–220.

[21] Opricovic, S., and Tzeng, G. (2003). "Fuzzy Multicriteria Model for Postearthquake Land-Use Planning". Natural Hazards Review, 4(2): 59–64.

[22] Opricovic, S., and Tzeng, G. H. (2004). "Compromise solution by MCDM methods: a comparative analysis of VIKOR and TOPSIS". European Journal of Operational Research, 156(2): 445–455.

[23] Opricovic, S., and Tzeng, G. H. (2007). "Extended VIKOR method in comparison with outranking methods". European Journal of Operational Research,

پیوستگی عملیات، افزایش هزینه‌های عملیاتی و افزایش زمان انجام پروژه می‌شود از این رو پارامترهای زمان و هزینه‌های پروژه نیز به مجموعه پارامترهای تاثیرگذار بر تونل‌سازی اضافه شدند. در ادامه ابتدا با استفاده از فرآیند تحلیل سلسه مراتبی و با استناد به نظر نویسنده‌گان، بردار وزن پارامترها تعیین شد سپس با به کارگیری روش تصمیم‌گیری چندمعیاره VIKOR شاعر بهینه تزریق برابر ۱۰۰ سانتی‌متر به عنوان گزینه برتر تعیین شد.

## -۷ مراجع

- [۱] اورعی، سید کاظم؛ ۱۳۸۷؛ "نگهداری در معادن"، انتشارات دانشگاه صنعتی امیرکبیر، ص ۳۳۸.
- [2] Nicholson, P. G. (2015). "Soil Improvement and Ground Modification Methods". 1st edition, Butterworth – Heinemann, Elsevier Inc, Amsterda, chapter. 12: 289-317.
- [3] ASCE Standard ASCE/G-I53-10, (2010). "Compaction Grouting Consensus Guide". American Society of Civil Engineers, New York, pp. 79.
- [4] Delmalm, T. (2004). "choice of grouting method for jointed hard rock based on sealing time prediction". PHD thesis, Royal University of Technology, Stockholm, Sweden, pp. 250.
- [5] Bernarder, S. (2004). "Grouting in sedimentary and igneous rock with special reference to pressure induced deformation". Technical reports, Lulea University of technology, Lulea, Sweden, pp. 118.
- [6] Lombardi, T. (2003). "grouting of rock mass". Proceeding of 3rd International Conference on Grouting Novel Grout Treatment, February 10-12, New Orleans, Louisiana, United States, 1-42.
- [7] Garshol, K. (2003). "Pre- Excavation Grouting in Rock tunneling". MBT International Underground Construction Group, Division of MBT (Switzerland) Ltd, pp. 138.
- [8] Zhang, D. M., Huang, H. W., and Wang, J. M. (2007). "Numerical study on the effect of grouting on long-term settlement of tunnel in clay". International Conference on Computational Science, May 27 – 30, Beijing, China, 1114-1121.
- [9] Panthi, K. K., and Nilsen, B. (2005). "Significance of grouting for controlling leakage in water tunnel. A case from Nepal". World Tunnel Congress, May, Istanbul, Turkey, 931-938.
- [10] Dickes, G. (2012). "Support of tunneling with chemical grouting in New Jersey". North American Society for

- [26] San Cristóbal, J. R. (2011). "Multi-criteria decision-making in the selection of a renewable energy project in spain: The VIKOR method". *Renewable Energy*, 36(2): 498-502.
- [27] Opricovic, S. (2011). "Fuzzy VIKOR with an application to water resources planning". *Expert Systems with Applications*, 38(10): 12983-12990.
- 
- [24] Hu-Chen, L., Long, Li., Nan, L., Ling-Xiang, M. (2012). "Risk evaluation in failure mode and effects analysis with extended VIKOR method under fuzzy environment". *Expert Systems with Applications*, 39(17): 12926-12934.
- [25] Tavakkoli-Moghaddam, R., and Mousavi, S. M. (2011). "An integrated AHP-VIKOR methodology for plant location selection". *International Journal of Engineering*, 24(2): 127-137.

<sup>۱</sup> Loren

<sup>۲</sup> Utility measure

<sup>۳</sup> Regret measure